doi:10.3969/j.issn.1006-9852.2022.09.004

•论 著•

GPR160 介导骨癌痛大鼠脊髓中枢敏化的 机制研究*

徐成飞 ¹ 倪华栋 ² 徐 森 ² 陈寅生 ¹ 伏 杰 ² 赵宝霞 ² 徐龙生 ² 姚 明 ² 林学武 ^{1 Δ} (¹ 蚌埠医学院第一附属医院疼痛科,蚌埠 233000; ² 嘉兴学院附属医院麻醉与疼痛医学中心,嘉兴 314000)

摘 要 目的: 检测骨癌痛 (bone cancer pain, BCP) 大鼠脊髓 (spinal cord, SC) 中 GPR160 的表达,探讨 GPR160 受体在骨癌痛发生发展过程中的作用。方法: 雌性 SD 大鼠 92 只,随机分为 5 组: 正常组 (Naïve 组,n=12) 、假手术组 (Sham 组,n=28) 、骨癌痛组 (BCP 组,n=36) 、BCP+GPR160-siRNA 组 (BCP+siGpr160 组,n=8) 。 BCP+control siRNA 组 (BCP+sieGfp 组,n=8) 。 采用 n=8 。 采用

关键词 GPR160 受体; 骨癌痛; 脊髓; 中枢敏化; 促炎因子

Mechanisms of GPR160 underlying central sensitization in the spinal cord of rats with bone cancer pain *

XU Chengfei 1 , NI Huadong 2 , XU Miao 2 , CHEN Yinsheng 1 , FU Jie 2 , ZHAO Baoxia 2 , XU Longsheng 2 , YAO Ming 2 , LIN Xuewu $^{1\Delta}$

(¹ Department of Pain, The First Affiliated Hospital of Bengbu Medical College, Bengbu 233000, China; ²Anesthesia and Pain Medicine Center, Affiliated Hospital of Jiaxing College, Jiaxing 314000, China)

Abstract Objective: To detect the expression of GPR160 in the spinal cord of rats with bone cancer pain, and to investigate the role of GPR160 in the development of bone cancer pain (BCP). **Methods:** Ninety-two female SD rats were randomly divided into five groups: Naïve group (n = 12), Sham group (n = 28), BCP group (n = 36), BCP + GPR160-siRNA group (BCP + siGpr160, n = 8), BCP + control siRNA group (BCP + sieGfp, n = 8). Mechanical withdrawal threshold (MWT) was assessed with *von* Frey filaments. Rats' gaits were evaluated with CatWalk gait analysis. Western Blot and immunofluorescence were used to detect the expression and distribution of GPR160 protein in the spinal cord. Real-time PCR was used to detect the mRNA of GPR160 in the spinal cord. The protein of TNF- α , IL-1 β , and IL-6 was detected with ELISA and Western Blot. **Results:** MWT was significantly decreased 6 days after BCP and lasted for 18 days (n = 18). Obvious infiltration of cancer cells and bone destruction were observed 18 days after BCP. Compared with control group,

2022/9/17 21:08:07 2022/9/17 21:08:07

^{*}基金项目: 国家自然科学基金(81901124);嘉兴市公益性研究计划基金(2021AY30023);浙江省省市共建医学重点学科(2019-ss-ttyx)

[△] 通信作者 林学武 pain2009@126.com

the expression of GPR160 and pro-inflammatory cytokines TNF- α , IL-1 β , and IL-6 in BCP group were increased significantly. However, intrathecal injection of GPR160-siRNA remarkably attenuated their expression compared with BCP + sieGfp group (P < 0.001). **Conclusion:** These results suggest that GPR160 is involved in central sensitization, and the mechanism may be related to the increased expression of pro-inflammatory cytokines.

Keywords GPR160; bone cancer pain; spinal cord; central sensitization; pro-inflammatory cytokines

骨癌痛 (bone cancer pain, BCP) 常发生在癌症晚期的骨转移病人中,如乳腺癌、肺癌和前列腺癌^[1],引起剧烈的疼痛反应。2020 年全世界约有 1000 万人死于癌症^[2],约 75% 的癌症晚期病人经历中度或重度疼痛,至少一半的病人使用现有的药物无法有效的缓解^[3]。阿片类药物作为癌痛三阶梯用药,发挥着重要的作用,但也存在明显的呼吸抑制、药物依赖等不良反应^[4,5],全世界超过 1500 万人经历着阿片类药物使用障碍 (opioid use disorder, OUD),急需寻找新的药物和作用靶点。目前 BCP 发病机制不清,最新的研究专注于 BCP 的细胞和分子机制,以开发新的靶向治疗^[6]。

G蛋白耦联受体 (G protein-coupled receptors, GPCRs) 是人类最大的膜蛋白受体家族,已经发现超过 1000 个人类 GPCRs ^[7]。GPCRs 作为药理学靶点一直备受关注,靶向 GPCRs 的药物占全球治疗药物市场份额约 27% ^[8]。GPCRs 广泛分布于外周和中枢神经系统,是疼痛治疗最重要的靶点之一,针对每一种 GPCRs 亚型特异性的药物开发,都可能会提高镇痛药的疗效,并最大限度地减少不良反应 ^[6]。

GPR160 (G protein-coupled receptors 160) 受体在物种间高度保守,广泛存在于人类和啮齿动物中枢神经系统中^[9]。研究表明,GPR160 受体参与了神经病理性疼痛的产生和维持,鞘内注射 GPR160-siRNA 能有效缓解痛觉过敏现象^[9]。目前尚未发现GPR160 受体在 BCP 中的相关报道,GPR160 受体是否参与 BCP 的发病机制,以及如何影响 BCP 的发生发展,将是本研究探讨的内容。本研究首次发现GPR160 受体参与BCP 大鼠脊髓中枢敏化的作用,为开发以GPR160 受体为靶点的药物提供实验依据。

方 法

1. 主要试剂和仪器

主要试剂: GPR160 抗体(美国 Invitrogen)、GPR160-siRNA(上海吉玛)、BCA 蛋白浓度试剂 盒(碧云天)、逆转录酶和 SYBR™ Green (Thermo Scientific)、ELISA 试剂盒(联科生物)。

实验所用主要仪器: 实时荧光定量 PCR 仪

(Applied Biosystems)、电泳仪 (Bio-Rad)、多功能酶标仪 (Bio Tek)、超微量分光光度计 (Thermo Scientific)、超声波细胞粉碎机(新芝)、共聚焦显微镜 (Zeiss, Germany)、动物步态分析系统 (CatWalkXT)、化学发光成像系统 (GeneGnome)、von Frey 电子式机械测痛仪 (BME-404)。

2. 实验动物与分组

雌性 SD 大鼠,体重 180~200 g,由浙江省医学科学院实验中心提供(伦理审批号: 2021-JUM 097),动物饲养于 22±2℃室温下,维持大鼠 12 h/12 h 昼夜节律,自由摄食摄水。本实验严格按照国际疼痛学会 (International Association for the Study of Pain, IASP) 关于应用动物进行疼痛研究的伦理纲要进行操作,整个过程尽量减少动物的不适和使用量。

雌性 SD 大鼠 92 只,第一部分分组:正常组 (Naïve 组, n=8)、假手术组 (Sham 组, n=8) 和骨癌痛组 (BCP组, n=8) 进行 von Frey 机械 痛阈测定,其中 Sham 组和 BCP 组在第 18 天取材 用于 CT (n = 3)、HE (n = 3) 和免疫荧光 (n = 2)。 第二部分分组: Sham 组和 BCP 组, Sham (n = 8)组和 BCP 组 (n = 8) 用于 RT-PCR 检测 GPR160 的 mRNA 表达; Sham 组、BCP 6 天、BCP 12 天和 BCP 18 天用于 Western Blot 检测 GPR160 蛋白。第三部 分分组: Sham 组 (n = 8)、BCP 组 (n = 8)、BCP + sieGfp 组 (n = 8) 和 BCP + siGpr160 组 (n = 8) 用于 von Frey 机械痛阈测定和步态分析, 另 Naïve 组 (n= 4) 作为正常组对比; 其中 Naïve 组 (*n* = 4)、Sham 组 (n=4)、BCP组(n=4)和BCP+siGpr160组(n=4)用于 TNF-α、IL-1β 和 IL-6 的 Western Blot 和 ELISA 检测。

3. 实验流程

第一部分:实验动物适应环境 3 天后,于 BCP 造模前、造模后 6 天、12 天和 18 天进行 von Frey 机械痛阈测定,其中于造模后 12 天取材进行免疫 荧光实验,第 18 天取材进行 HE 和 CT 检测。第二部分:实验动物适应环境 3 天后,进行 BCP 造模 (Sham 组注射灭活癌细胞),于造模后 6 天、12 天和 18 天取材 Western Blot 实验;于造模后第 12 天取材 (Sham 组和 BCP 组, n = 8)进行 RT-PCR

实验。第三部分:实验动物适应环境 3 天后,进行 von Frey 机械痛阈测定,然后 BCP 造模 (Sham 组注射灭活癌细胞),于造模后第 3 天进行鞘内置管并验证成功后,于造模后第 7 天、8 天、9 天、10 天、11 天和 12 天鞘内给药,并于造模后第 6 天、7 天、8 天、9 天、10 天、11 天和 12 天鞘内给药 1 h 后进行 von Frey 机械痛阈测定,第 12 天鞘内给药 1 h 后进行步态分析,然后取材进行 Western Blot 和 ELISA 实验。

4. BCP 模型的建立

参照我们之前的方法 [10] 建立大鼠 BCP 模型。 将保存于液氮中的 Walker 256 乳腺癌细胞株取出, 37℃水浴复苏,取 0.5 ml (2 ×10⁷) Walker 256 细胞 种植于 SD 大鼠腹腔,3~4 天后出现腹水。抽出腹 水,用 Hank's 液洗涤 3 次,细胞计数。采用戊巴比 妥钠麻醉 (50 mg/kg),在左胫骨中下 1/3 处纵向切 开皮肤暴露胫骨,用微量注射器抽取 10 μl Walker 256 乳腺癌细胞 (1×10⁶),从骨面向干骺端穿刺缓 慢注入骨髓腔,Sham 组注入 10 μl 灭活癌细胞,停 留 1 min 后拔出,立即用医用胶封堵针孔。

5. 鞘内置管给药

将大鼠戊巴比妥钠 (50 mg/kg) 麻醉后,在 L₃₋₄ 棘突处做一纵向切口,分离 L₄ 棘突旁肌肉和椎板,切除 L₄ 棘突,暴露 L₃₋₄ 椎间隙,用 26 G 针刺破黄韧带和硬脊膜,经破口处置入 PE-10 导管 2 cm, 18 G 硬膜外穿刺针在皮下穿一条隧道至颈背部,外露 2 cm 固定,外口封闭,防止脑脊液外漏。术后第 2 天经 PE-10 管注入 2% 利多卡因 15 μl 测试,30 s内出现下肢麻痹,30 min 左右恢复,表明置管成功。置管后单笼饲养,观察 2 天,出现肢体感觉或运动障碍、导管脱出的剔除,于 BCP 造模后第 7 天、8 天、9 天、10 天、11 天、12 天开始鞘内注射 GPR160-siRNA 或者对照药物 (GPR160-sieGfp),在 BCP 造模后第 12 天取材进行实验。

6. 机械痛阈的测定

采用 von Frey 检测 BCP 大鼠机械刺激缩足反射 阈值 (mechanical withdrawal threshold, MWT) [11-13],安静环境下,将大鼠置于底部为 0.5 cm $\times 0.5$ cm 铁丝 网格有机玻璃箱 (20 cm $\times 20$ cm $\times 25$ cm) 中,适应环境 30 min。采用 von Frey 电子式机械测痛仪测定 MWT,对准大鼠左侧足底中间部位,逐渐加压,当大鼠出现缩足、舔足、甩足时记录压力值,测定 3 次,每次间隔 10 s,取其平均值为 MWT (g)。在 BCP 术前、术后第 6 天、12 天、18 天测定大鼠左 2 K MWT (2)。BCP + siGpr160 组大鼠在 BCP 术后

7~12 天连续鞘内注入 GPR160-siRNA, 对照组鞘内注入 GPR160-sieGfp, 于 BCP 术前、术后 6 天、8 天、10 天、12 天鞘内给药 1 h 后进行测痛。

7. 步态分析

使用 CatWalk 步态分析系统对运动中的大鼠进 行步态分析, 步态分析已被证明是测量疼痛相关行 为的有效方法。光线从通道底部荧光管中发出,穿 过玻璃板, 大鼠脚印与玻璃板接触时, 光线向下反 射,下方的高速摄像机捕捉到大鼠的脚印图像,全 程采集大鼠脚印的参数。采集前进行训练,以匀速、 无停顿地通过通道为准。CatWalk 系统常采用脚印 的接触面积和强度作为衡量指标[14],因此,本研究 采用以下三个指标来评估骨癌痛前后的相关行为: ①最大触地面积 (max contact area): 足部接触最多 时的面积;②最大触地面积时最大强度 (max contact max intensity): 足部接触玻璃板时最大压强; ③平 均强度 (mean intensity): 足部触地面积最大时的平 均强度。为了减小差异,本研究采用左后肢/右后肢 比值来消除其他因素影响,数据采用左后肢/右后肢 百分比形式。

8. CT 三维重建

建立骨癌痛模型后 18 天,腹腔注射戊巴比妥钠 (100 mg/kg) 深麻醉后取材(造模侧下肢),对大鼠胫骨进行 CT 三维重建,观察骨质破坏情况,根据之前的研究 [15],CT 扫描参数如下: 螺旋扫描,管电压为 120 kVp,层厚 1 mm,层间距 1 mm,核: U30u 中等光滑,SD 大鼠胫骨的 CT 成像为高分辨率(视野为 100 mm)。所有图像通过西门子 PACS系统软件处理和分析。

9. HE 染色

建立骨癌痛模型后 18 天,腹腔注射戊巴比妥钠 (100 mg/kg)取材,大鼠左侧胫骨经 4% 多聚甲醛固定、脱钙、石蜡包埋、切片后进行 HE 染色。使用显微镜(日本 Olympus)采集分析图像,观察肿瘤生长及骨质破坏情况。

10. Western Blot

大鼠腹腔注射戊巴比妥钠 (100 mg/Kg) 深麻醉后,在冰上快速取出大鼠脊髓腰段膨大处 (L_3 - L_5) 脊髓背角,液氮储存。组织 40 mg 加入 RIPA 裂解液 (含 PMSF 和磷酸酶抑制剂)300 μ l,超声破碎匀浆,冰上裂解 30 min,4°C 14,000 r/min 离心 20 min,吸取上清。BCA 法测定蛋白浓度,上样缓冲液 1:4 配比,每孔加入 40 μ g 蛋白样 SDS-PAGE 胶电泳,湿法转膜,5% BSA 室温封闭 2 h,一抗 4°解育过夜,二抗室温 2 h,ECL 显影。使用 Image J 软

件对图片进行灰度分析, GPR160蛋白相对表达量以 GPR160蛋白条带灰度值与 GAPDH条带灰度值比值表示。

11. Real-time PCR

大鼠脊髓背角取材(同 Western Blot 步骤), Trizol 法提取总 RNA,测定浓度后使用逆转录试剂 盒 (Thermoscientific RevertAid cDNA synthesis Kit, USA) 将 1000 ng RNA 逆转录为 cDNA, 使用 PowerUp SYBR Green Master Mix (Applied Biosystems) 在实时荧光定量PCR 仪中进行Real-time PCR 反 应, 引物由上海生工设计合成。GPR160 Forward: 5'-TTCCTTCGCTTACGGCTTCTTGC-3', Reverse: 5'-GC-TTGGCTCTGGACAGATTAC-3'; β-actin Forward: 5'-ATCACTATCGGCAATGAGCGGTTC-3', Reverse; 5'- TGTTGGCATAGAGGTCTTTACGGATG-3'。 PCR 扩增条件为: (50℃, 120 s; 95℃, 120 s); 扩增循环 40 次 (95 ℃, 15 s; 60 ℃, 60 s); 溶解 (95 ℃, 15 s; 60 ℃, 60 s; 95 ℃, 15 s)。 荧光实时定量 PCR 采用 2^{-△△ct} 法分析,相对表达量采用与 β-actin 的比值; $^{\triangle}$ ct、 $\triangle \triangle$ ct 计算公式: \triangle ct = 目的基因 CT 值-内参基因 CT 值; $^{\triangle\triangle}$ ct = $^{\triangle}$ ct (处理组) - $^{\triangle}$ ct (对照组)。

12. 免疫荧光

大鼠 BCP 造模后 12 天,戊巴比妥钠 (50 mg/kg) 深度麻醉,经心尖穿入静脉针至升主动脉,快速灌注 PBS 500 ml 后,再用 4% 多聚甲醛 250 ml 灌注固定,将脊髓取出放入 4% 多聚甲醛固定 6 h,然后在 15 % 和 30% 蔗糖溶液中梯度脱水 48 h,擦干水分后使用 OCT (Sakura) 在-20℃包埋,切成 16 μ m 厚的切片置于载玻片上,放入-80℃保存。切片使用 PBS 洗涤,5% BSA 封闭室温 1 h,然后在 4℃冰箱孵育一抗 GPR160 (orb215127, Biorbyt, Cambridge, UK) 过夜,第 2 天室温复温 30 min, PBS 洗涤后,在室温下二抗 [Abcam, donkey anti-rabbit IgG H&L (Alexa Fluor® 488), ab150073] 孵育 50 min, PBS 洗涤后滴加 DAPI (Vectashield-DAPI mounting medium)封片,使用荧光共聚焦显微镜 (Zeiss, Germany) 采集图像。

13. ELISA

大鼠 BCP 造模后 12 天取材(同 Western Blot 步骤),裂解液提取组织蛋白,10 倍稀释蛋白上清,参照文献 [16] 方法,并依据试剂盒说明书进行操作,加样、富集孵育、洗板、加酶标抗体、再次洗板、底物显色和终止反应,然后酶标仪读取 450 nm 下样本的 OD 值。拟合标准曲线,将样本 OD 值代入方程,计算样品浓度。

14. 统计学分析

使用 Image J 软件统计 Western Blot 条带灰度值,用目的蛋白与内参的灰度比值表示蛋白的相对表达量。所有计量资料统计数据使用 GraphPad 软件分析,采用均数 \pm 标准误 ($\bar{x}\pm SEM$)表示。行为学结果采用两因素重复测量方差分析 (two-way repeated measures ANOVA);实时荧光定量 PCR 和 Western Blot结果采用 t 检验 (student's t-test)分析和单因素方差分析 (one-way ANOVA); P < 0.05 为差异有统计学意义。

结 果

1. 骨癌痛模型的建立

痛阈结果显示,与 Naïve 组或 Sham 组相比,BCP 组大鼠在 6 天 (P < 0.05)、12 天 (P < 0.001)、18 天 (P < 0.001) 的 MWT 显著降低(见图 1A)。CT 成像显示,与 Sham 组相比,BCP 组大鼠在术后 18 天左侧胫骨出现明显的骨质破坏(见图 1B)。胫骨组织病理学结果显示,Sham 组骨髓腔可见正常的骨小梁结构(见图 1C),而 BCP 组骨髓腔内可见被侵蚀的骨小梁结构,骨髓腔充满核大深染的肿瘤细胞(见图 1D)。

2. GPR160 在 BCP 大鼠脊髓中的表达

免疫荧光结果显示,与 Sham 组相比,BCP 术后 12 天 GPR160 的表达增强(见图 2A 和图 2C);在 BCP 术后 12 天脊髓背角上,与对侧(Contra)相比,造模侧(Ipsi)的 GPR160 表达增强(见图 2B)。Western Blot 结果显示,与 Sham 组相比,GPR160 蛋白在 BCP 术后 6 天 (P < 0.05)、12 天 (P < 0.01)、18 天 (P < 0.001)明显增高(见图 2D)。Real-time PCR 结果显示,与 Sham 组相比,BCP 组GPR160 mRNA 表达显著增加(P < 0.001,见图 2E)。

3. 鞘内注射 GPR160-siRNA 对 BCP 大鼠 MWT 及 GPR160 蛋白的影响

CatWalk 步态分析系统作为研究机械性疼痛的方法 [17],本研究采用触地面积和压强作为参考指标,数据分析结果显示,与 Sham 组相比,BCP 组大鼠在最大触地面积 (P < 0.001)、最大触地面积时最大压强 (P < 0.05)、平均压强 (P < 0.01)均显著降低(见图 3 A-F)。

CatWalk 步态分析结果显示,与 BCP 组大鼠相比,siGpr160 组大鼠在最大触地面积 (P < 0.001)、最大触地面积时最大压强 (P < 0.05)、平均压强 (P < 0.001) 显著增加(见图 3D-F)。MWT 结果提示,鞘内给药后,siGpr160 组 MWT 在 BCP 术后第 10 天

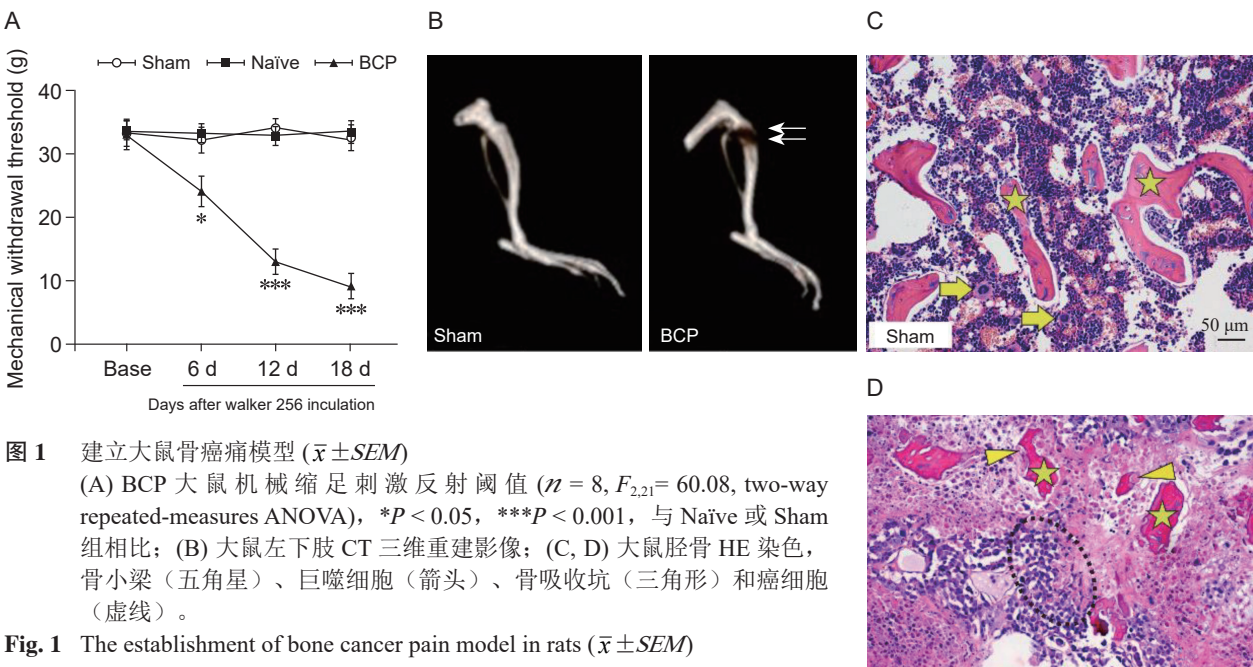


Fig. 1 The establishment of bone cancer pain model in rats ($\overline{x} \pm SEM$)

(A) MWT of BCP rat (m = 8, $F_{2,21} = 60.08$, two-way repeated-measures ANOVA), *P < 0.05, ***P < 0.001, compared with group Naïve or Sham; (B) Three-dimensional CT reconstruction of a rat's left leg; (C, D) Hematoxylineosin staining of rat, bone trabecular (asterisks), macrophages (arrows), bone resorption pits (triangle) and cancer cells (within the dotted lines).

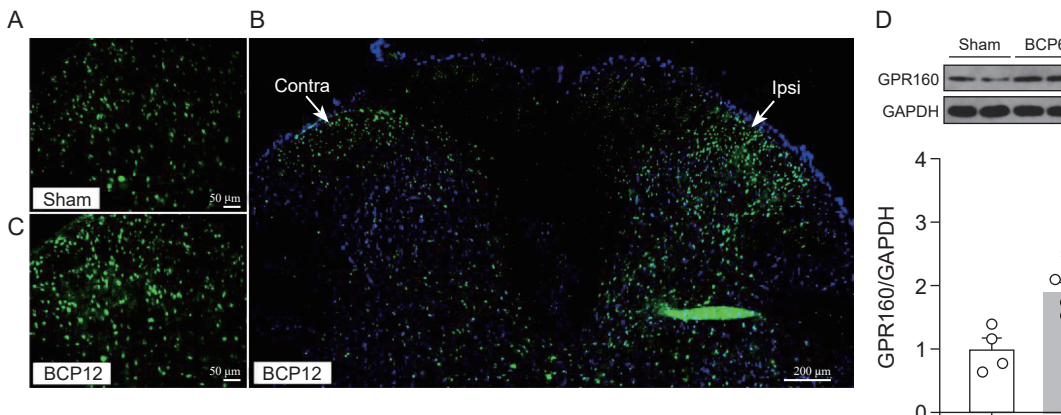
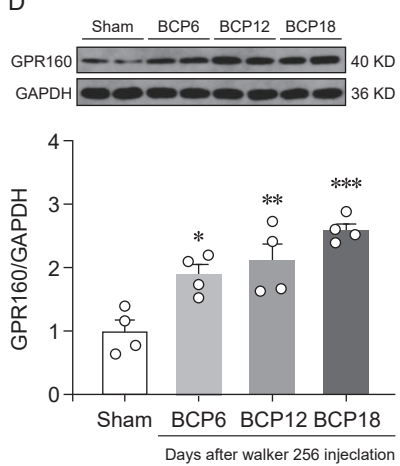
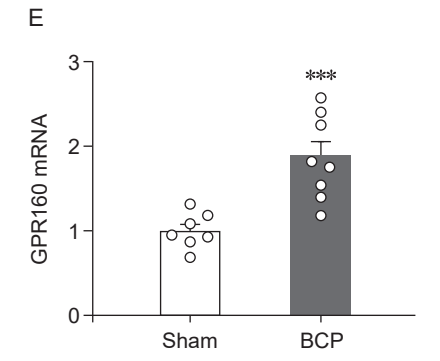


图 2 BCP 大鼠脊髓 GPR160 蛋白和 mRNA 的表达 ($\bar{x} \pm SEM$) (A-C) 免疫荧光检测 GPR160 的表达和分布; (D) Western Blot 检测 BCP 大鼠脊髓 GPR160 蛋白的表达 ($n = 4, F_{3,12} = 12.68$, one-way ANOVA), *P < 0.05, **P < 0.01, ***P < 0.001, 与 Sham 组相比; (E) BCP 大鼠脊髓 GPR160 mRNA 的表达 (n = 7 或 8, Student's t-test), ***P < 0.001, 与 Sham 组相比

Fig. 2 The expression of GPR160 protein and mRNA in the spinal cord of rats with bone cancer pain (x ± SEM)
(A-C) Immunofluorescence was performed to detect the expression and distribution of GPR160; (D) Western Blot shows increased GPR160 protein levels in the spinal cord of rats with BCP (n = 4, F_{3,12} = 12.68, one-way ANOVA). *P < 0.05, **P < 0.01, ***P < 0.001, compared with group Sham;
(E) The expression of GPR160 mRNA in the spinal cord of rats with BCP (n = 7 or 8, Student's t-test). ***P < 0.001, compared with group Sham.





2022疼痛9期00.indd 668 2022/9/17 21:08:09

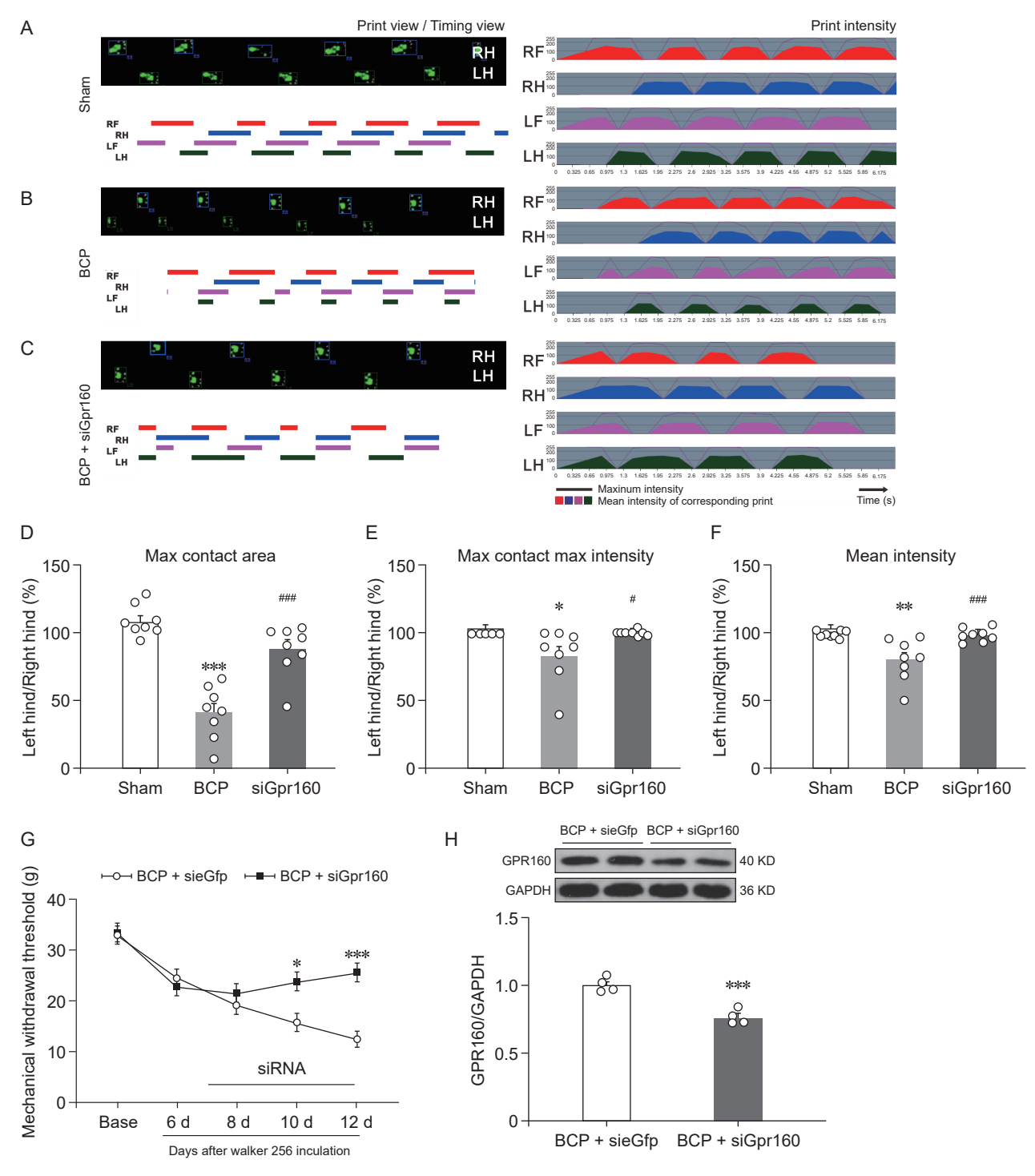


Fig. 3 The effect of intrathecal injection of GPR160-siRNA on behavior and GPR160 protein in the rat model of BCP ($\bar{x}\pm SEM$) (A-F) Gait data of rats (n=8, one-way ANOVA). RH: right hind; LH: left hind. *P<0.05, **P<0.01, ***P<0.001, compared with group Sham; *P<0.05, ***P<0.001, compared with group BCP; (G) MWT of rats after intrathecal injection of GPR160-siRNA (n=8, $F_{1,14}=12.78$, two-way repeated-measures ANOVA). *P<0.05, ***P<0.001, compared with group BCP + sieGfp; (H) The expression of GPR160 protein after intrathecal injection of GPR160-siRNA (n=4, Student's t-test). ***P<0.001, compared with group BCP + sieGfp.

2022/9/17 21:08:11

(P < 0.05)、12 天 (P < 0.001) 显著升高(见图 3G)。 Western Blot 结果显示,与 BCP + siGfp 组相比, BCP + siGpr160组GPR160蛋白显著下降(P < 0.001, 见图 3H)。

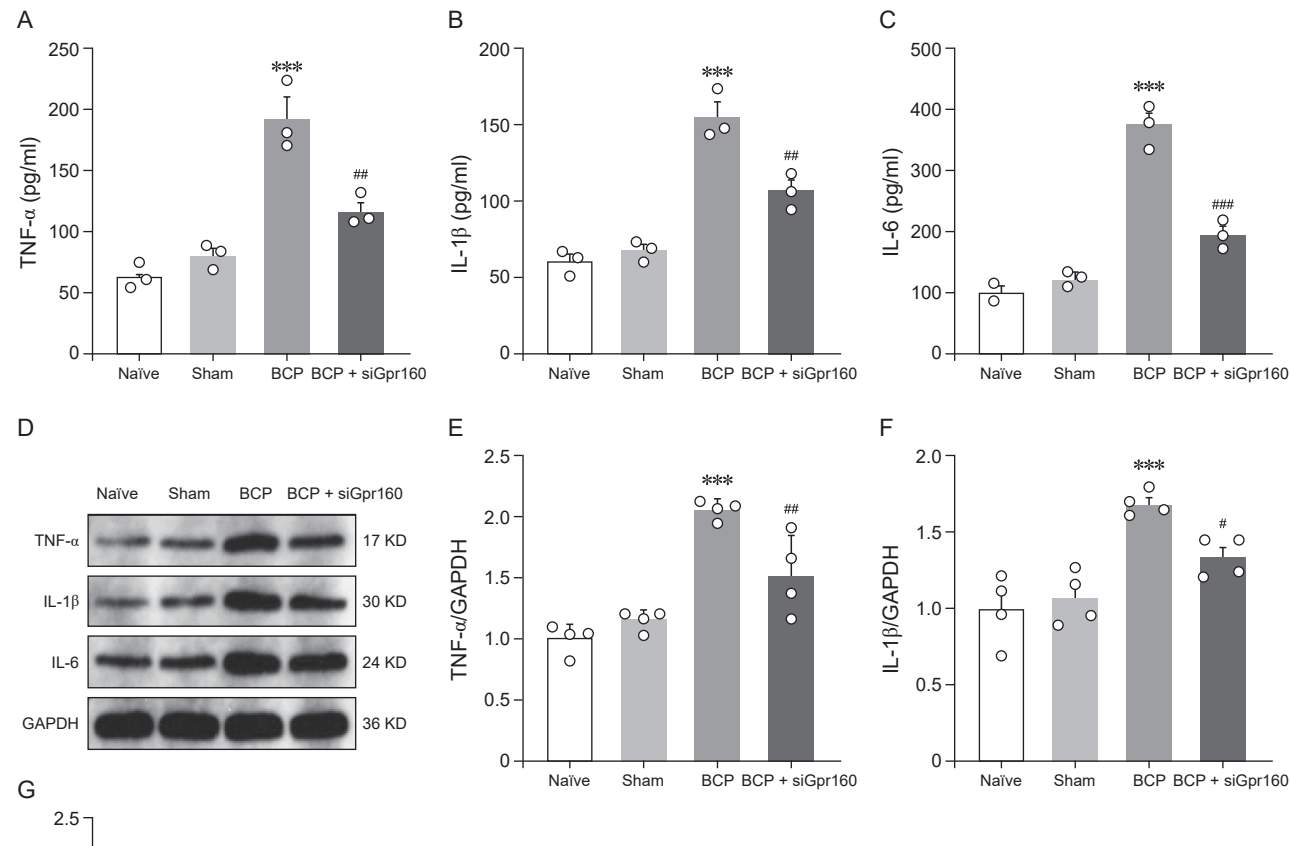
4. 鞘内注射 GPR160-siRNA 对骨癌痛大鼠脊髓 TNF-α、IL-1β 及 IL-6 蛋白表达的影响

ELISA 检测结果显示,与 Naïve 或 Sham 组相比,BCP 组 TNF- α (P < 0.001)、IL-1 β (P < 0.001) 和 IL-6 (P < 0.001) 显著增高;与 BCP 组相比,siGpr160 组 TNF- α (P < 0.01)、IL-1 β (P < 0.01)、IL-6 (P < 0.001) 显著下降(见图 4A-C)。Western Blot 结果显示,与 Naïve 或 Sham 组相比,BCP 组 TNF- α (P < 0.001)、IL-1 β (P < 0.001) 和 IL-6 (P < 0.001) 显著增高;与 BCP 组相比,siGpr160 组 TNF- α (P < 0.01)、IL-1 β (P < 0.05)、IL-6 (P < 0.05) 显著下降(见图 4D-G)。

讨 论

骨癌痛 (BCP) 是一种复杂的慢性疼痛,国际上有多种研究骨癌痛的动物模型 [18],这些模型在一定程度上可以产生与临床骨癌痛病人相似的疼痛状态,以便观察骨癌痛的发生发展、骨质破坏、中枢及外周组织中的分子生物学改变。

本研究采用姚明等^[10]建立的骨癌痛模型,在造模后第6天左足开始出现明显的痛阈下降,且疼痛的程度和时间与行为学表现一致;HE染色可见骨髓腔内大量癌细胞和遭到破坏的骨小梁,CT三维重建再次验证了BCP组存在明显的骨质破坏;行为学CatWalk步态分析结果显示,BCP组大鼠左足在最大触地面积、最大触地面积时最大压强、平均压强出现显著下降,这与相关的研究结果一致^[14],



2.5 2.0 H1.5 0.5 Naïve Sham BCP BCP + siGpr160

- **Fig. 4** The effect of intrathecal injection of GPR160-siRNA on TNF-α, IL-1β, and IL-6 protein in the rat model of BCP ($\bar{x} \pm SEM$, n = 3 or 4, one-way ANOVA)

 ***P < 0.001, compared with group Naïve or Sham; ${}^{\#}P < 0.05$, ${}^{\#}P < 0.01$, ${}^{\#}P < 0.001$, compared with group BCP.

2022疼痛9期00.indd 670 2022/9/17 21:08:11

验证模型成功。

随着 GPR160 受体的配体 CARTp 的确定 ^[9], CARTp/GPR160 信号通路也被认为与奖赏、成瘾、 厌食和抑郁等有关 ^[19-21],其在疼痛中的作用也受到 重视。Yosten 等 ^[9]在坐骨神经慢性压迫模型 (chronic constriction injury, CCI) 上发现 GPR160 受体参与痛觉过敏的发生。

为了探究 GPR160 受体在骨癌痛中的表达,本 研究发现,与 Naïve 或 Sham 组相比,BCP 组大鼠 脊髓中 GPR160 蛋白和 mRNA 表达量均显著增加, 提示 BCP 上调脊髓中 GPR160 受体的蛋白和 mRNA 的表达,这与之前在神经病理性疼痛中的研究结果 一致 [9] 。为了进一步明确 GPR160 受体在 BCP 中的 作用,本研究鞘内注射了GPR160-siRNA,结果显示, 与 BCP + sieGfp 组相比, BCP + siGpr160 组大鼠 MWT 显著降低, GPR160 蛋白也显著下降, 提示抑 制 GPR160 受体有助于减轻骨癌痛; CatWalk 步态 分析结果提示,与BCP组相比,BCP+siGpr160组 大鼠在最大触地面积、最大触地面积时最大压强、 平均压强出现显著的上升, 提示疼痛程度减轻。但 同时也观察到, 鞘内注射 GPR160-siRNA 并没有完 全逆转 BCP 模型大鼠的痛阈下降程度 (MWT 曲线 并未达到基线水平),提示 GPR160 受体途径可能 是参与大鼠骨癌痛发生和维持的重要机制之一。

炎症因子(TNF-α、IL-1β和IL-6)在疼痛信号转导过程中起着重要的作用^[22]。本研究采用 ELISA和 Western Blot 检测了骨癌痛大鼠脊髓中的炎症因子,结果发现,与 Naïve 或 Sham 组相比,BCP组大鼠脊髓中的炎症因子显著升高,而在鞘内注射 GPR160-siRNA后,炎症因子水平出现显著下降;与 BCP+sieGfp组相比,BCP+siGpr160组的MWT 明显的上升,提示抑制 GPR160 受体后,减少了炎症因子的释放,减轻痛觉过敏反应。

虽然 BCP 的发病机制不清,但目前的普遍观点归纳为: ①周围神经损伤和炎症介质引起的伤害感受器的外周敏化 ^[23]; ②脊髓中广泛的神经化学变化导致的中枢敏化 ^[24]; ③下行抑制系统的丧失和异化系统的激活 ^[25]。神经元和胶质细胞在 BCP 发生发展过程中起着重要的作用,在肿瘤细胞置入大鼠骨髓腔后,小胶质细胞和星形胶质细胞活化,释放大量的炎症因子(如 TNF-α、IL-1β 和 IL-6),上调细胞表面的受体(如 P2X3R、TLR4 和 CX3CR1),并激活胞内信号通路(如 PI3K/Akt、NF-kB 和 ERK通路) ^[26,27]。研究发现抑制 TNFR1 和 IL-6R 可减轻BCP 大鼠机械痛和热痛过敏 ^[28];同样,IL-1β 也可通

过增加 NMDA 受体 NR1 亚基的磷酸化促进 BCP ^[29]。 GPR160 受体在脊髓中的神经元、星形胶质细胞和小胶质细胞上表达 ^[9],参与神经元和胶质细胞的信号传递。在鞘内注射 GPR160-siRNA 后,炎症因子水平下降、MWT 上升,提示 BCP 大鼠胶质细胞的活化和/或神经元-胶质细胞的交互作用可能受到了抑制。关于 GPR160 受体在神经元-胶质细胞中如何影响 BCP 的发展,我们将进一步深入研究。

本研究未进行 GPR160 的过表达处理,没有进一步探究 GPR160 在兴奋性神经元或抑制性神经元中的分布,接下来还将继续 GPR160 参与疼痛调节直接机制的研究。综上所述,在本研究条件下,首次证明了 GPR160 受体参与了脊髓水平大鼠骨癌痛的发生和维持,其机制可能与促进炎症因子释放有关,这为临床治疗提供了新的思路。

利益冲突声明: 作者声明本文无利益冲突。

参考文献

- [1] Mantyh PW. Bone cancer pain: from mechanism to therapy[J]. Curr Opin Support Palliat Care, 2014, 8(2):83-90.
- [2] World Health Organization. Fact sheet detail. Cancer. www.who.int/news-room/fact-sheets/detail/cancer (accessed February 2021).
- [3] Falk S, Dickenson AH. Pain and nociception: mechanisms of cancer-induced bone pain[J]. J Clin Oncol, 2014, 32(16):1647-1654.
- [4] Liu S, Kim DI, Oh TG, *et al*. Neural basis of opioid-induced respiratory depression and its rescue[J]. Proc Natl Acad Sci U S A, 2021, 118(23):e2022134118.
- [5] Darcq E, Kieffer BL. Opioid receptors: drivers to addiction?[J]. Nat Rev Neurosci, 2018, 19(8):499-514.
- [6] Gadepalli A, Akhilesh, Uniyal A, et al. Multifarious targets and recent developments in the therapeutics for the management of bone cancer pain[J]. ACS Chem Neurosci, 2021, 12(22):4195-4208.
- [7] Sommer ME, Selent J, Carlsson J, et al. The european research Network on signal transduction (ERNES): toward a multidimensional holistic understanding of G protein-coupled receptor signaling[J]. ACS Pharmacol Transl Sci, 2020, 3(2):361-370.
- [8] Hauser AS, Attwood MM, Rask-Andersen M, et al. Trends in GPCR drug discovery: new agents, targets and indications[J]. Nat Rev Drug Discov, 2017, 16(12): 829-842.
- [9] Yosten GL, Harada CM, Haddock C, et al. GPR160 deorphanization reveals critical roles in neuropathic pain in rodents[J]. J Clin Invest, 2020, 130(5):2587-2592.
- [10] 姚明,杨建平,王丽娜,等.腹水传代与体外培养

- Walker 256 癌细胞系建立大鼠骨癌痛模型的可行性 [J]. 中华医学杂志, 2008, 88(13):880-884.
- [11] Medhurst SJ, Walker K, Bowes M, et al. A rat model of bone cancer pain[J]. Pain, 2002, 96(1-2):129-140.
- [12] Apryani E, Ali U, Wang ZY, et al. The spinal microglial IL-10/beta-endorphin pathway accounts for cinobufagin-induced mechanical antiallodynia in bone cancer pain following activation of alpha7-nicotinic acetylcholine receptors[J]. J Neuroinflammation, 2020, 17(1):75.
- [13] Fu J, Ni C, Ni HD, et al. Spinal Nrf2 translocation may inhibit neuronal NF-κB activation and alleviate allodynia in a rat model of bone cancer pain[J]. J Neurochem, 2021, 158(5):1110-1130.
- [14] Hu XM, Yang W, Du LX, et al. Vascular endothelial growth factor a signaling promotes spinal central sensitization and pain-related behaviors in female rats with bone cancer[J]. Anesthesiology, 2019, 131(5): 1125-1147.
- [15] Xu M, Ni H, Xu L, et al. B14 ameliorates bone cancer pain through downregulating spinal interleukin-1beta via suppressing neuron JAK2/STAT3 pathway[J]. Mol Pain, 2019, 15:1744806919886498.
- [16] 邓雨涛,程祝强,高永静,等.趋化因子 CXCL10 作为神经病理性疼痛生物标记物的研究 [J]. 中国疼痛 医学杂志,2021,27(1):31-40.
- [17] Vrinten DH, Hamers FFT. 'CatWalk' automated quantitative gait analysis as a novel method to assess mechanical allodynia in the rat; a comparison with von Frey testing[J]. Pain, 2003, 102(1):203-209.
- [18] 张春鹏,周庆辉.骨癌痛模型研究进展[J].中国疼痛医学杂志,2018,24(10):774-777.
- [19] Haddock CJ, Almeida-Pereira G, Stein LM, et al. Signaling in rat brainstem via Gpr160 is required for the anorexigenic and antidipsogenic actions of cocaine-and amphetamine-regulated transcript peptide[J]. Am J Physiol Regul Integr Comp Physiol, 2021, 320(3): R236-R249.
- [20] Somalwar AR, Choudhary AG, Sharma PR, et al.

- Cocaine- and amphetamine-regulated transcript peptide (CART) induced reward behavior is mediated via G_{i/o} dependent phosphorylation of PKA/ERK/CREB pathway[J]. Behav Brain Res, 2018, 348:9-21.
- [21] SamsonWK, SalveminiD, Yosten GLC. Overcoming stress, hunger, and pain: cocaine-and amphetamine-regulated transcript peptide's promise[J]. Endocrinology, 2021, 162(8):bqab108.
- [22] Hui J, Zhang ZJ, Zhang X, et al. Repetitive hyperbaric oxygen treatment attenuates complete Freund's adjuvant-induced pain and reduces glia-mediated neuroinflammation in the spinal cord[J]. J Pain, 2013, 14(7):747-758.
- [23] Mantyh PW, Clohisy DR, Koltzenburg M, et al. Molecular mechanisms of cancer pain[J]. Nat Rev Cancer, 2002, 2(3):201-209.
- [24] Schwei MJ, Honore P, Rogers SD, et al. Neurochemical and cellular reorganization of the spinal cord in a murine model of bone cancer pain[J]. J Neurosci, 1999,19(24):10886-10897.
- [25] Sabino MA, Mantyh PW. Pathophysiology of bone cancer pain[J]. J Support Oncol, 2005, 3(1):15-24.
- [26] Zhai M, YAng S, Lin S, et al. distinct gene expression patterns of ion channels and cytokines in rat primary sensory neurons during development of bone cancer and cancer pain[J]. Front Mol Neurosci, 2021, 14: 665085.
- [27] Zhou YQ, Liu Z, Liu HQ, et al. Targeting glia for bone cancer pain[J]. Expert Opin Ther Targets, 2016, 20(11): 1365-1374.
- [28] Zhao D, Han DF, Wang SS, et al. Roles of tumor necrosis factor-alpha and interleukin-6 in regulating bone cancer pain via TRPA1 signal pathway and beneficial effects of inhibition of neuro-inflammation and TRPA1[J]. Mol Pain, 2019, 15:1744806919857981.
- [29] Zhang RX, Liu B, Li A, et al. Interleukin 1beta facilitates bone cancer pain in rats by enhancing NMDA receptor NR-1 subunit phosphorylation[J]. Neuroscience, 2008, 154(4):1533-1538.

《中国疼痛医学杂志》编辑部

地址: 北京市海淀区学院路 38号, 北京大学医学部

联系电话: 010-82801712; 010-82801705

电子邮箱: pain1712@126.com

杂志官网: http://casp.ijournals.cn 在线投稿

微信公众平台号: 中国疼痛医学杂志 (cjpm1712)





2022/9/17 21:08:12